

Letzte Aktualisierung der Informationen: Mai 2024

Produktkonfiguration: Q946

Q946: Einbaurahmen 5zellig - General Lighting Pro



Produktcode

Q946: Einbaurahmen 5zellig - General Lighting Pro **Warnung! Code eingestellt**

Beschreibung

Miniaturisierte, rechteckige Einbauleuchte mit 5 optischen Elementen mit LED-Lampen - feste Optiken mit hochauflösenden Opti Beam-Reflektoren aus metallisiertem Thermoplast, in zurückgesetzter Position in den Blendschutz integriert. Hauptkorpus mit strahlender Oberfläche aus Aluminiumdruckguss, Version mit Anschlag-Konturenrahmen. Trotz der geringen Größe des Produkts garantiert die Kombination aus gänzlichem weißen Finish und der patentierten Technologie des Optiksystems eine hohe, gleichförmige und durch einen speziellen Streufilter optimierte Lichtausgabe, die direkte Blendung fühlbar reduziert. Komplett mit elektronischer, an die Leuchte angeschlossener Versorgungseinheit.

Installation

Zum Einbau in abgehängte Decken von 1 bis 25 mm mittels Federn aus Stahldraht - Einbauöffnung 24 x 96.

Farben

Weiß (01)

Gewicht (Kg)

0.35

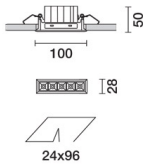
Montage

Wandeinbauleuchte|Deckeneinbauleuchte

Verkabelung

Auf der Box der Versorgungseinheit: Klemmleiste enthalten mit verschraubbaren Anschlüssen.

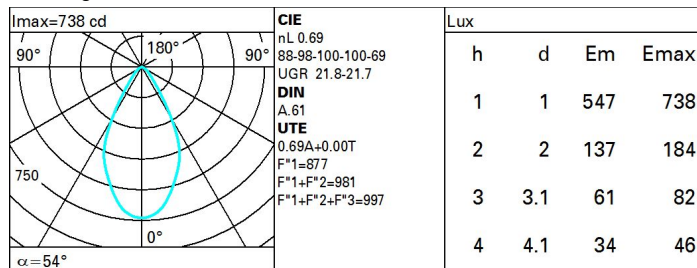
Gemäß der Normen EN60598-1 u. Sondernormen



Technische Daten

| | | | |
|---|------|-----------------------------------|---------------------------------|
| Im System: | 614 | CRI (minimum): | 90 |
| W System: | 12.4 | Farbtemperatur [K]: | 2700 |
| Im Lichtquelle: | 890 | MacAdam Step: | 2 |
| W Lichtquelle: | 9.9 | Lebensdauer LED 1: | > 50,000h - L80 - B10 (Ta 25°C) |
| Lichtausbeute (lm/W, Systemwert): | 49.5 | Lampencode: | LED |
| Im im Notlichtbetrieb: | - | Anzahl Lampen in Leuchtengehäuse: | 1 |
| abgegebener Lichtstrom bei/ über einem Winkel von 90° [lm]: | 0 | ZVEI-Code: | LED |
| Leuchtenbetriebswirkungsgrad 69 (L.O.R.) [%]: | | Anzahl Leuchtengehäuse: | 1 |

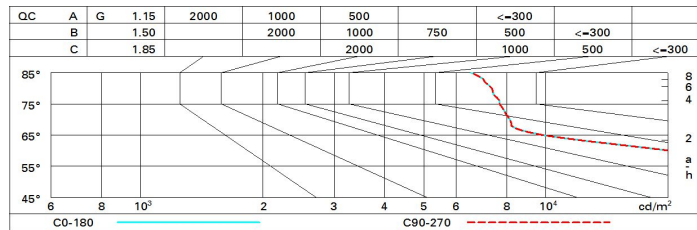
Polardiagramm



Wirkungsgrad

| R | 77 | 75 | 73 | 71 | 55 | 53 | 33 | 00 | DRR |
|------|----|----|----|----|----|----|----|----|-----|
| K0.8 | 58 | 54 | 51 | 49 | 54 | 51 | 51 | 48 | 69 |
| 1.0 | 62 | 58 | 55 | 53 | 57 | 55 | 54 | 52 | 75 |
| 1.5 | 66 | 63 | 61 | 59 | 62 | 60 | 60 | 57 | 83 |
| 2.0 | 69 | 66 | 65 | 63 | 65 | 64 | 63 | 61 | 88 |
| 2.5 | 70 | 68 | 67 | 66 | 67 | 66 | 65 | 63 | 92 |
| 3.0 | 71 | 70 | 69 | 68 | 69 | 68 | 67 | 65 | 94 |
| 4.0 | 72 | 71 | 70 | 70 | 70 | 69 | 68 | 66 | 96 |
| 5.0 | 73 | 72 | 71 | 71 | 71 | 70 | 69 | 67 | 97 |

Söllner-Diagramm



UGR-Diagramm

| Corrected UGR values (at 890 lm bare lamp luminous flux) | | | | | | | | | | | |
|--|------|------------------|------|------|------|------|----------------|------|------|------|------|
| Reflect.: | | viewed crosswise | | | | | viewed endwise | | | | |
| ceil/cav | | 0.70 | 0.70 | 0.50 | 0.50 | 0.30 | 0.70 | 0.70 | 0.50 | 0.50 | 0.30 |
| walls | | 0.50 | 0.30 | 0.50 | 0.30 | 0.30 | 0.50 | 0.30 | 0.50 | 0.30 | 0.30 |
| work pl. | | 0.20 | 0.20 | 0.20 | 0.20 | 0.20 | 0.20 | 0.20 | 0.20 | 0.20 | 0.20 |
| Room dim | | viewed crosswise | | | | | viewed endwise | | | | |
| x | y | | | | | | | | | | |
| 2H | 2H | 21.9 | 22.5 | 22.1 | 22.7 | 23.0 | 21.9 | 22.5 | 22.1 | 22.7 | 23.0 |
| | 3H | 21.8 | 22.4 | 22.2 | 22.7 | 23.0 | 21.9 | 22.4 | 22.2 | 22.7 | 23.0 |
| | 4H | 21.8 | 22.4 | 22.2 | 22.6 | 23.0 | 21.8 | 22.4 | 22.2 | 22.6 | 22.9 |
| | 6H | 21.8 | 22.3 | 22.2 | 22.6 | 22.9 | 21.7 | 22.2 | 22.1 | 22.6 | 22.9 |
| | 8H | 21.8 | 22.3 | 22.2 | 22.6 | 22.9 | 21.7 | 22.2 | 22.1 | 22.5 | 22.9 |
| 12H | 21.8 | 22.2 | 22.1 | 22.6 | 22.9 | 21.7 | 22.1 | 22.1 | 22.5 | 22.8 | |
| 4H | 2H | 21.8 | 22.4 | 22.2 | 22.6 | 22.9 | 21.8 | 22.4 | 22.2 | 22.6 | 23.0 |
| | 3H | 21.8 | 22.3 | 22.2 | 22.6 | 23.0 | 21.9 | 22.3 | 22.2 | 22.7 | 23.0 |
| | 4H | 21.8 | 22.2 | 22.2 | 22.6 | 23.0 | 21.8 | 22.2 | 22.2 | 22.6 | 23.0 |
| | 6H | 21.8 | 22.2 | 22.3 | 22.6 | 23.0 | 21.8 | 22.1 | 22.2 | 22.5 | 22.9 |
| | 8H | 21.8 | 22.1 | 22.3 | 22.6 | 23.0 | 21.7 | 22.1 | 22.2 | 22.5 | 22.9 |
| 12H | 21.8 | 22.1 | 22.3 | 22.5 | 23.0 | 21.7 | 22.0 | 22.2 | 22.4 | 22.9 | |
| 8H | 4H | 21.7 | 22.1 | 22.2 | 22.5 | 22.9 | 21.8 | 22.1 | 22.3 | 22.6 | 23.0 |
| | 6H | 21.8 | 22.0 | 22.3 | 22.5 | 23.0 | 21.8 | 22.1 | 22.3 | 22.5 | 23.0 |
| | 8H | 21.8 | 22.0 | 22.3 | 22.5 | 23.0 | 21.8 | 22.0 | 22.3 | 22.5 | 23.0 |
| | 12H | 21.8 | 22.0 | 22.3 | 22.5 | 23.0 | 21.8 | 22.0 | 22.3 | 22.5 | 23.0 |
| 12H | 4H | 21.7 | 22.0 | 22.2 | 22.4 | 22.9 | 21.8 | 22.1 | 22.3 | 22.5 | 23.0 |
| | 6H | 21.7 | 22.0 | 22.2 | 22.4 | 22.9 | 21.8 | 22.0 | 22.3 | 22.5 | 23.0 |
| | 8H | 21.8 | 22.0 | 22.3 | 22.5 | 23.0 | 21.8 | 22.0 | 22.3 | 22.5 | 23.0 |
| Variations with the observer position at spacing: | | | | | | | | | | | |
| S = | 1.0H | 2.4 / -2.2 | | | | | 2.4 / -2.2 | | | | |
| | 1.5H | 4.5 / -4.7 | | | | | 4.5 / -4.7 | | | | |
| | 2.0H | 6.3 / -6.0 | | | | | 6.3 / -6.0 | | | | |